GRAINE 2015 豪州気球実験の紹介と エマルションデータ解析

名古屋大学理学研究科 D1 河原宏晃

22nd ICEPP symposium @白馬 岳美荘

GRAINE実験とは

ガンマ線天文学 を目的とした気球実験.

宇宙の非熱的な高エネルギー現象に着目した観測分野.

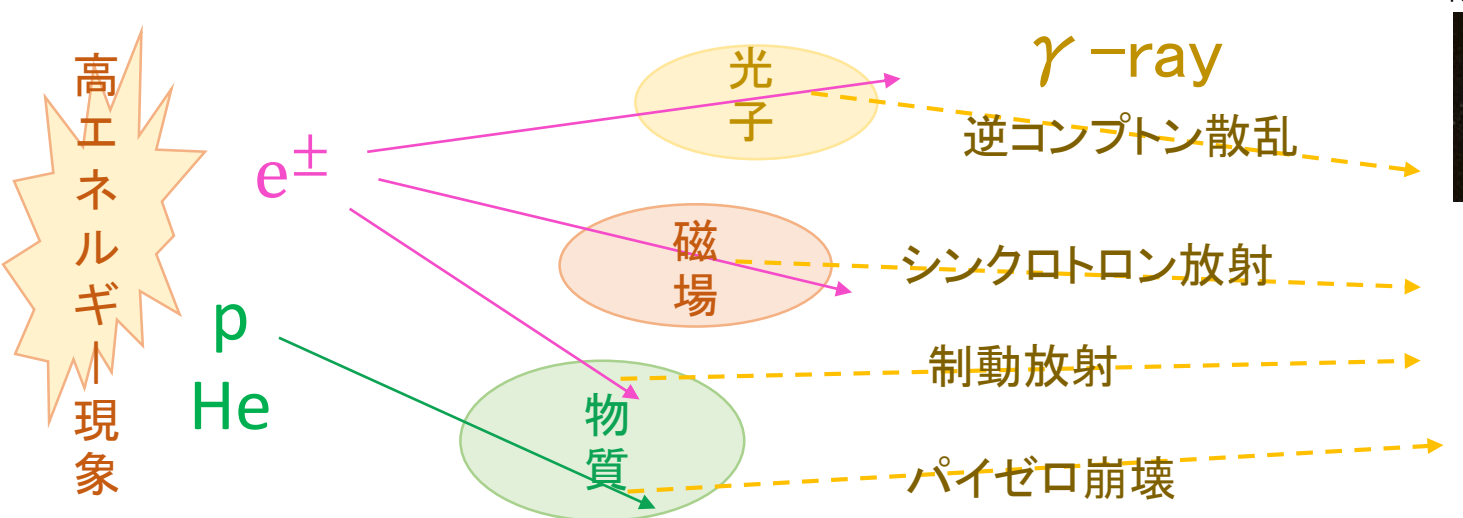
- 宇宙線物理
- 高エネルギー定常天体(超新星残骸、パルサー、活動銀河核など)
- トランジェント現象(GRB、フレアなど)
 - " 109-10²⁰ eV の 粒子加速"

かにパルサー

NASA HUBBLE



宇宙ガンマ線の生成プロセス



衛星観測

ESA Integral



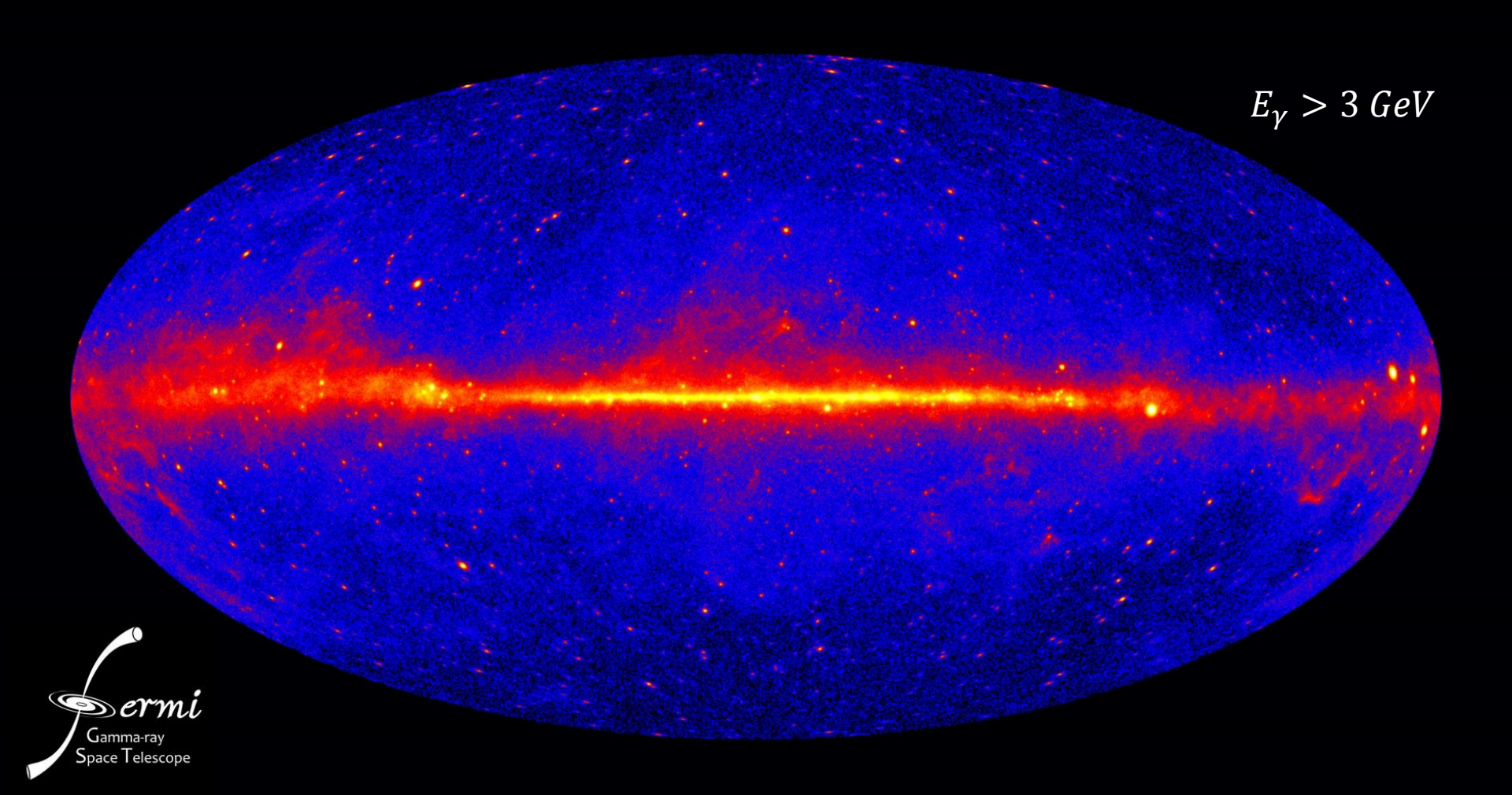
大気球

JAXA



フェルミ宇宙ガンマ線望遠鏡 5yr. 全天マップ

検出天体数 > 3000個





フェルミ宇宙ガンマ線望遠鏡 5yr. 全天マップ

検出天体数 > 3000個



パルサー <mark>その</mark>他 6% 5%

Space Telescope

超新星残骸の 空間構造の解明

> Galactic Center 1.0-3.16GeV Total flux

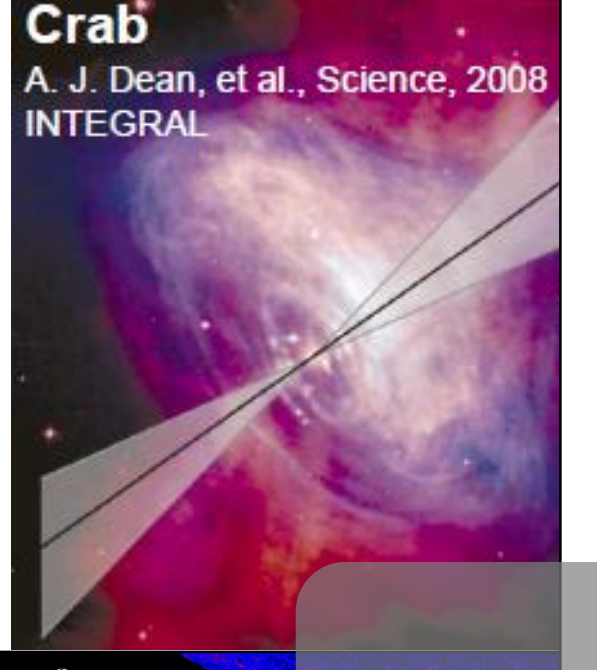
W44

超新星残骸のガンマ線 エネルギースペクトル 精密測定

100MeV-GeV偏光観測の実現

銀河中心のダークマター??

Residua



Transient 天体の高精度観測



GRAINE 実験は

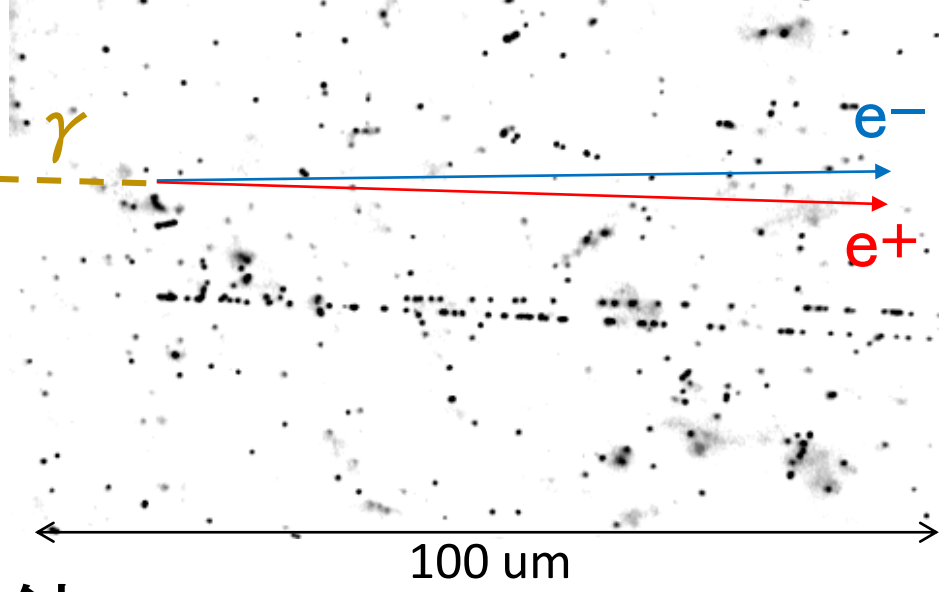
2.5° 0 -2.5°

ガンマ線望遠鏡の角度

これらの課題の解決を目指す!

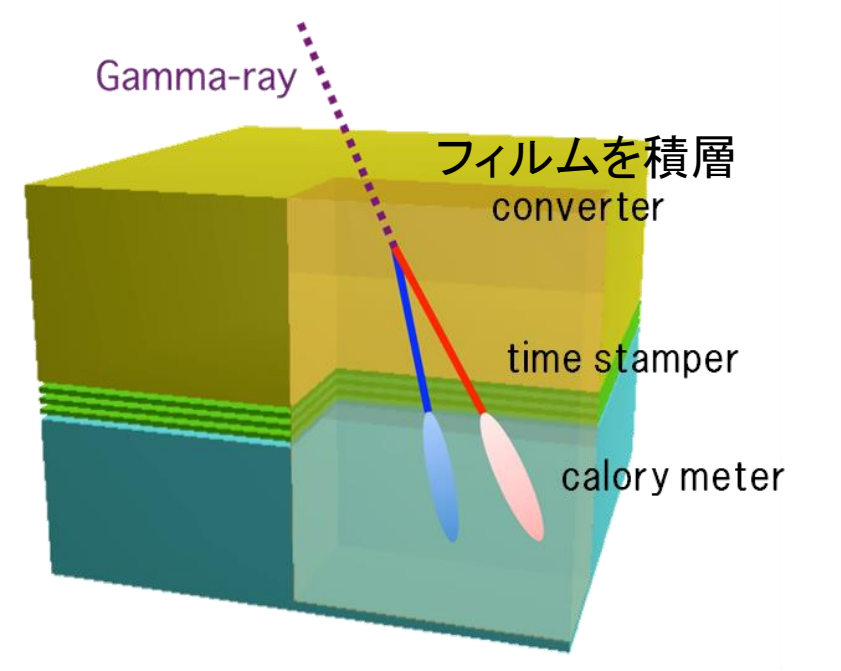
原子核乾板

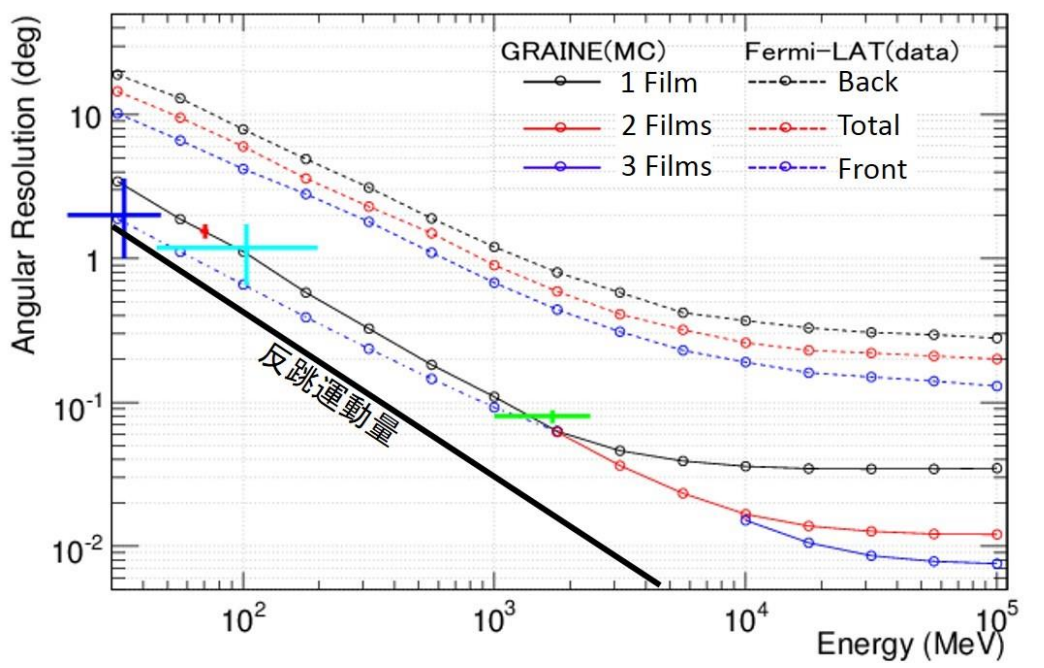
- 位置分解能に優れた 固体飛跡検出器.
- 軽量・コンパクトで高分解能な ガンマ線望遠鏡を実現可能.



エマルションガンマ線望遠鏡

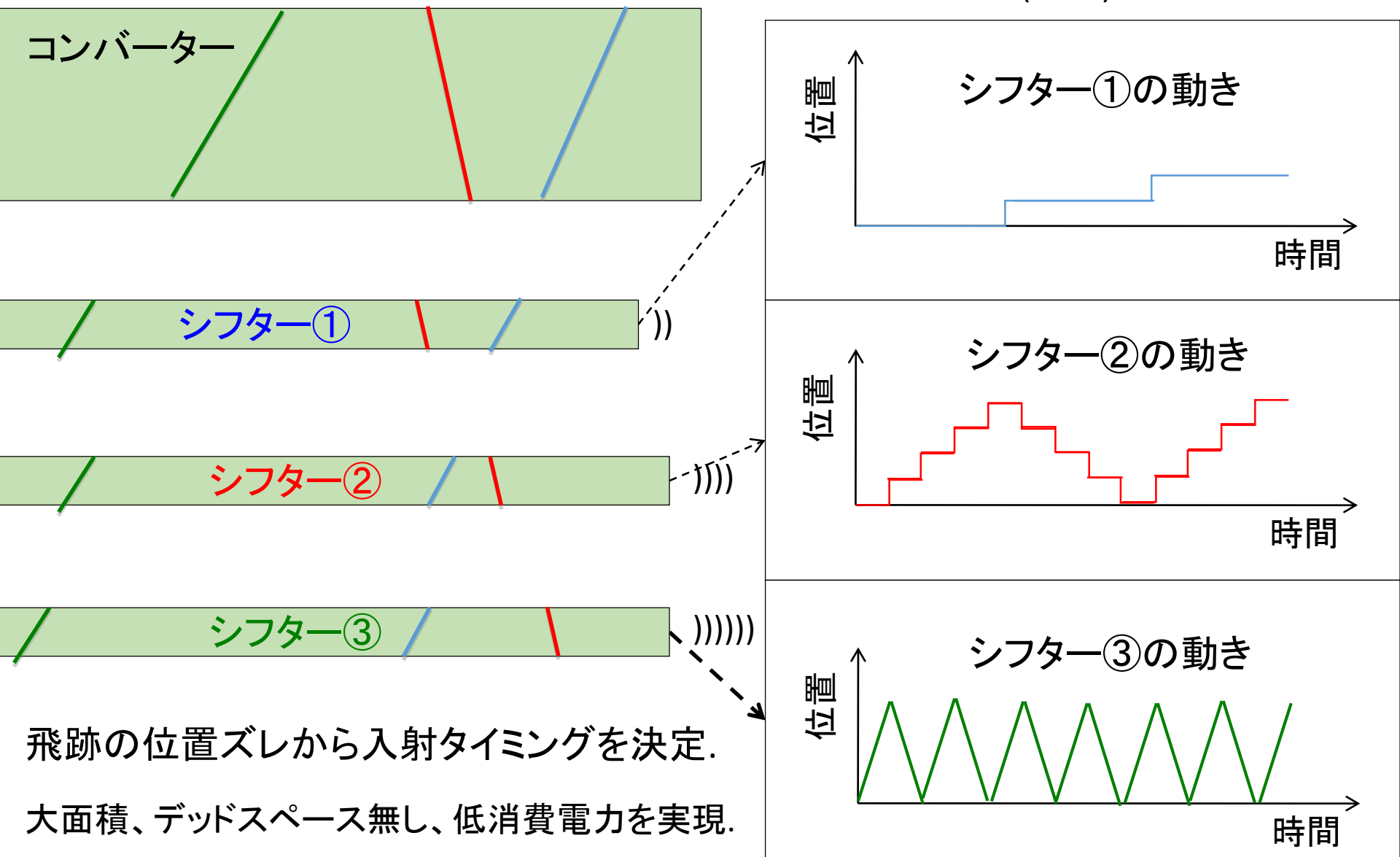
10MeV - 100GeV ガンマ線の高角度分解能観測を行う.





原子核乾板に時間情報を与えるタイムスタンパー(多段シフター)

S. Takahashi, S. Aoki, H. Rokujo, et al. NIMA 620(2010)

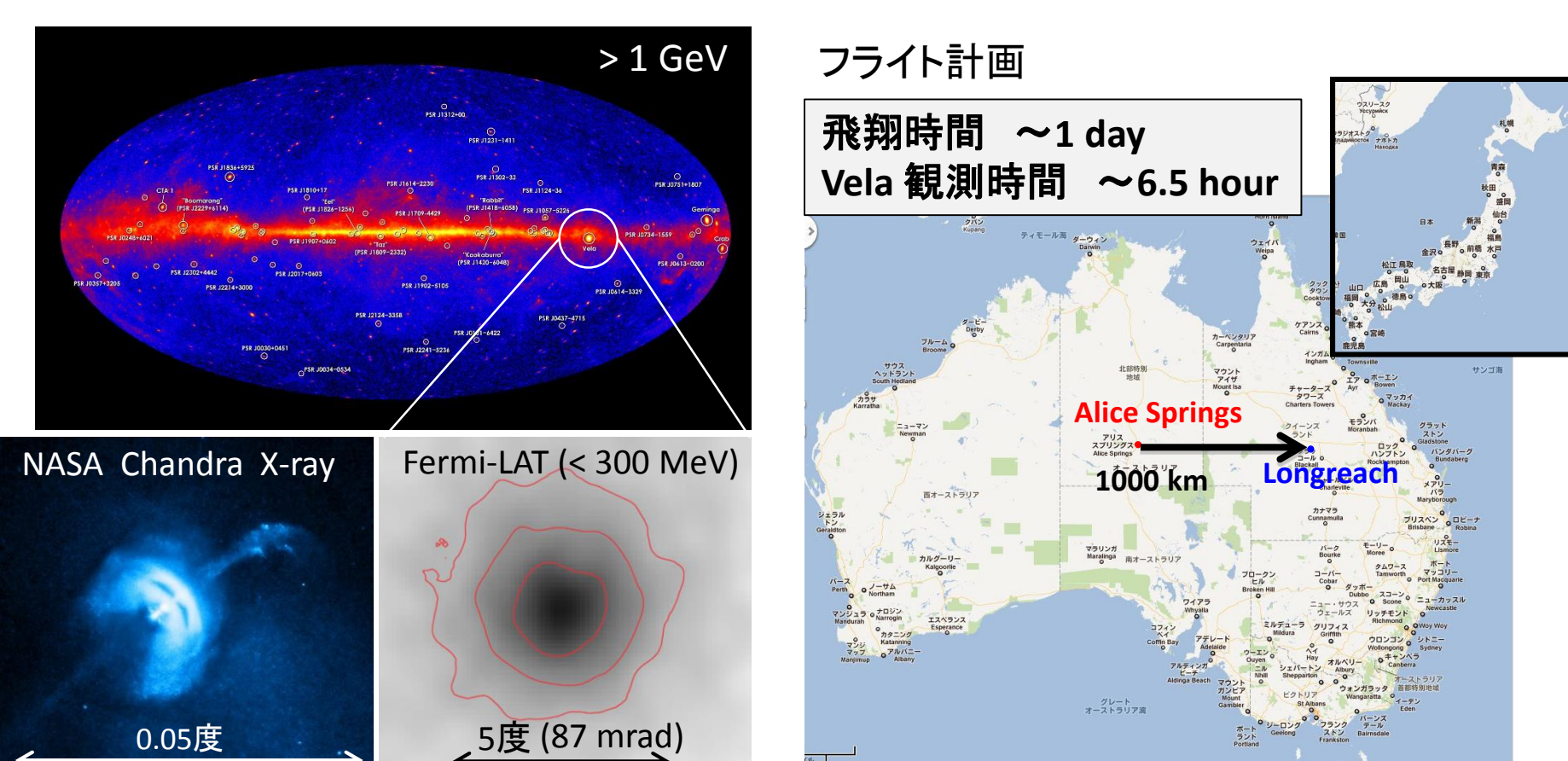


2015年オーストラリア気球実験

オーストラリア気球実験

目的

エマルション望遠鏡による天体初検出とイメージング性能の実証. 角度分解能 0.5° (≈10 mrad) @100-300 MeV



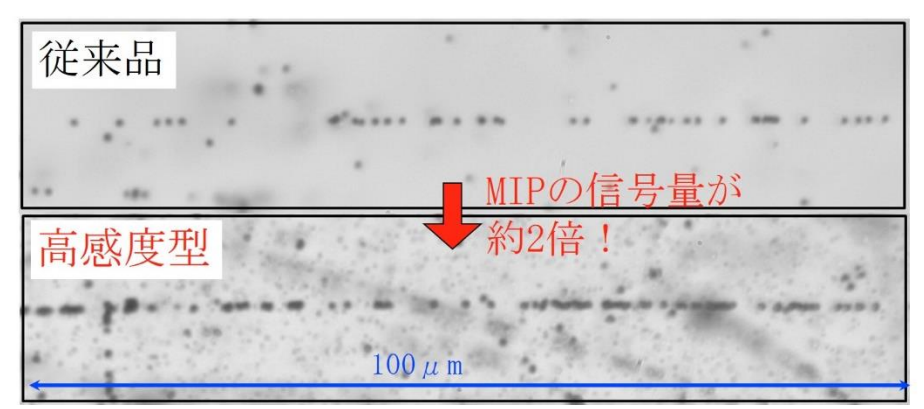
Vela Pulsar ($Flux \sim 1 \times 10^{-5} \text{ cm}^{-2} \text{s}^{-1} @100 \text{MeV} - 10 \text{GeV}$)

0.05度

気球実験の準備

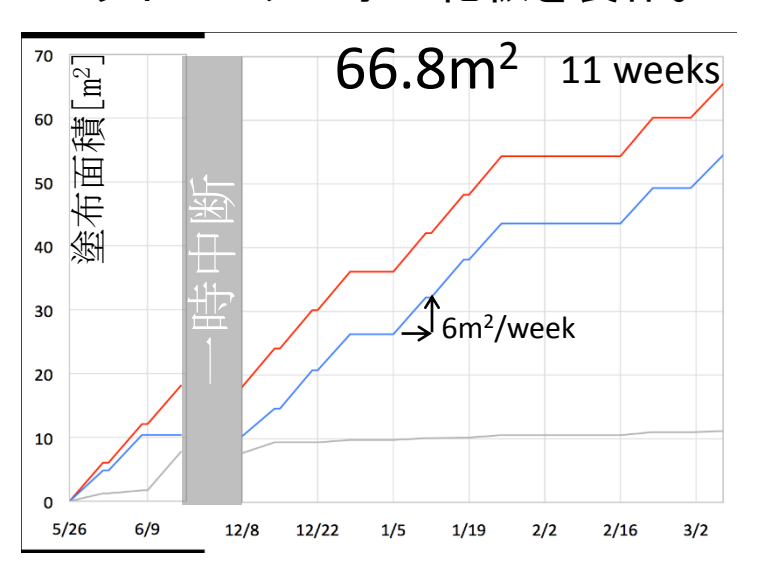
河原の修論

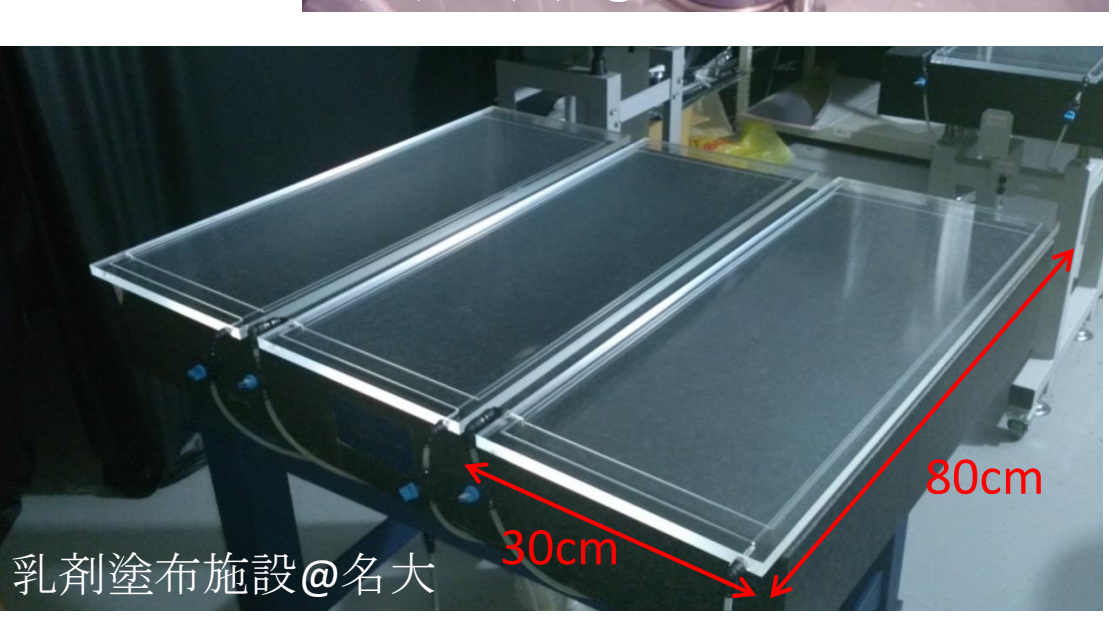
名古屋大学で開発した「高感度乾板」を初導入。

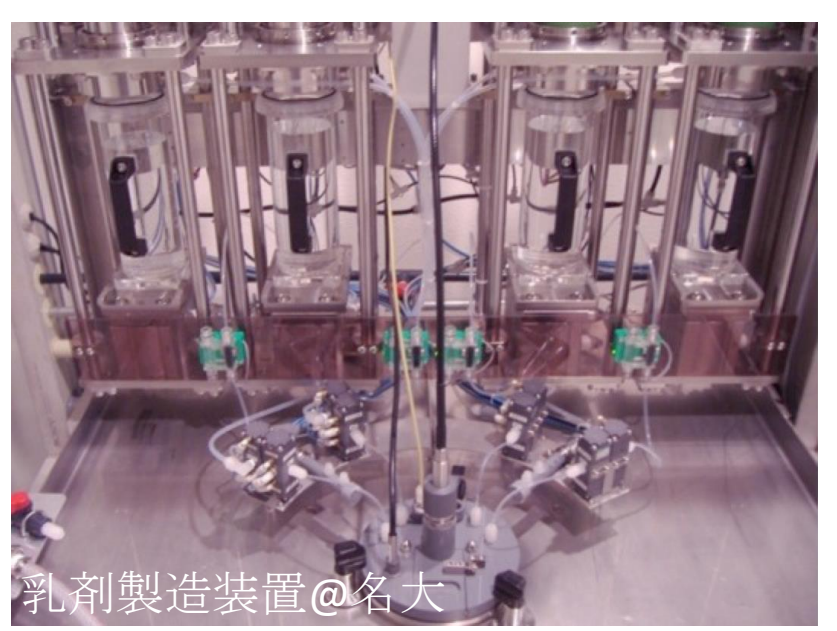


- ◎飛跡認識効率↑
- ◎ガンマ線選出効率↑
- ©Signal/Noise↑
- ◎エネルギー閾値↓

コラボレータの手で乾板を製作。

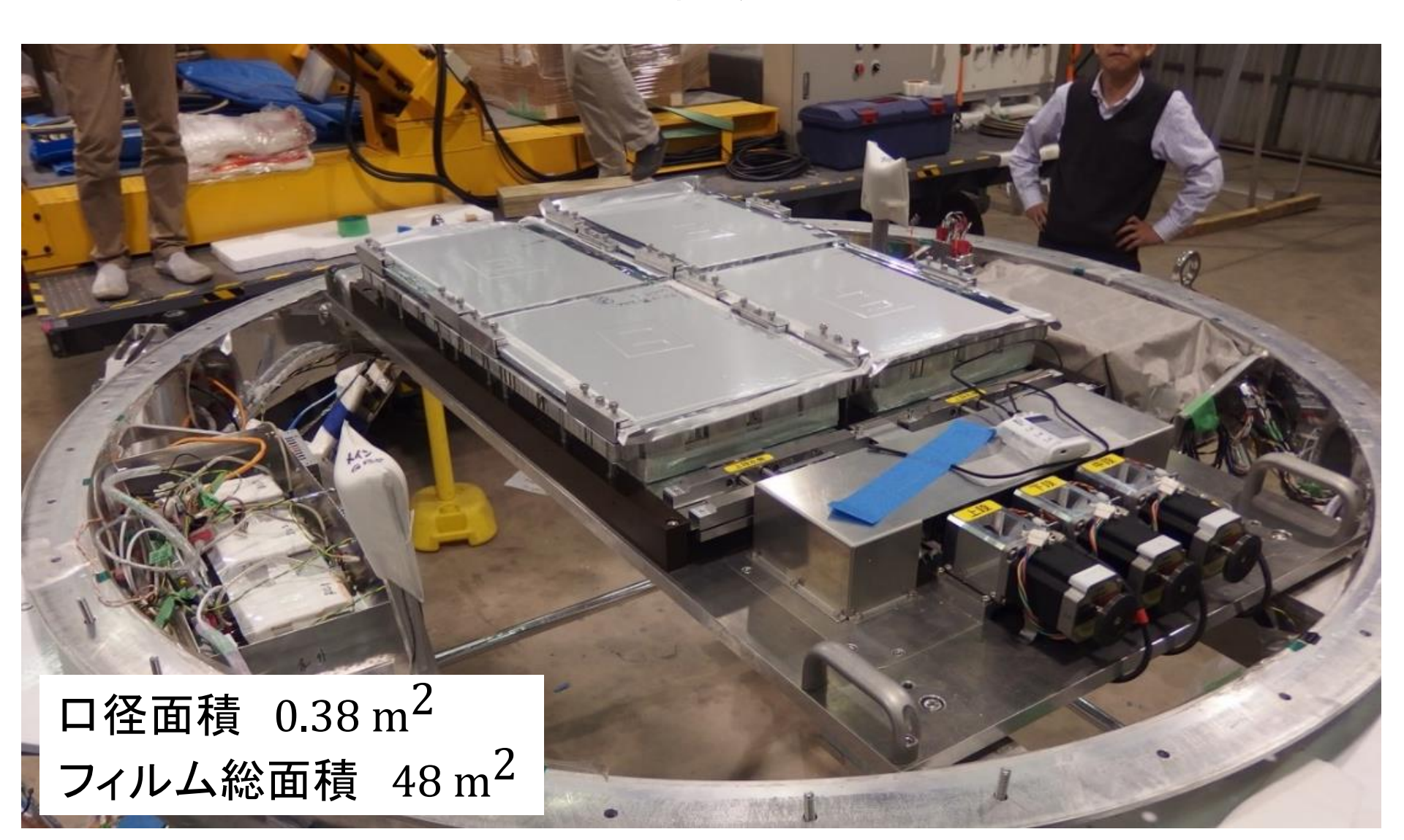






エマルションγ線望遠鏡

2015年 5月 オーストラリア・アリススプリングス



ペイロード荷姿 2015年 5月 オーストラリア・アリススプリングス



放球動画

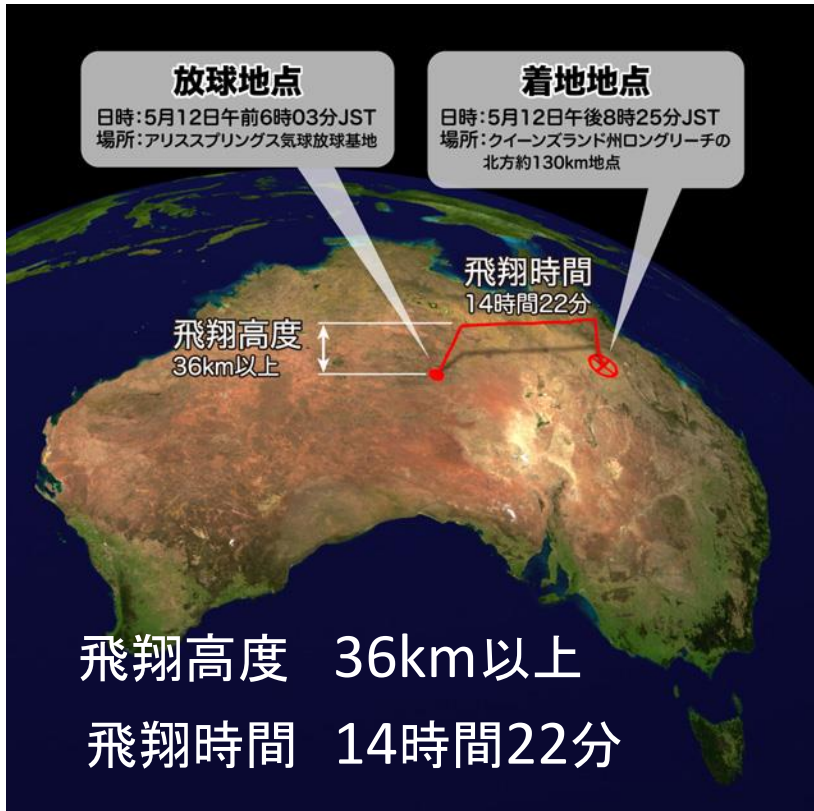
2015年5月12日 オーストラリア・アリススプリングス

フライトの実績

放球 2015年5月12日



航跡図(フライトデータから描画)



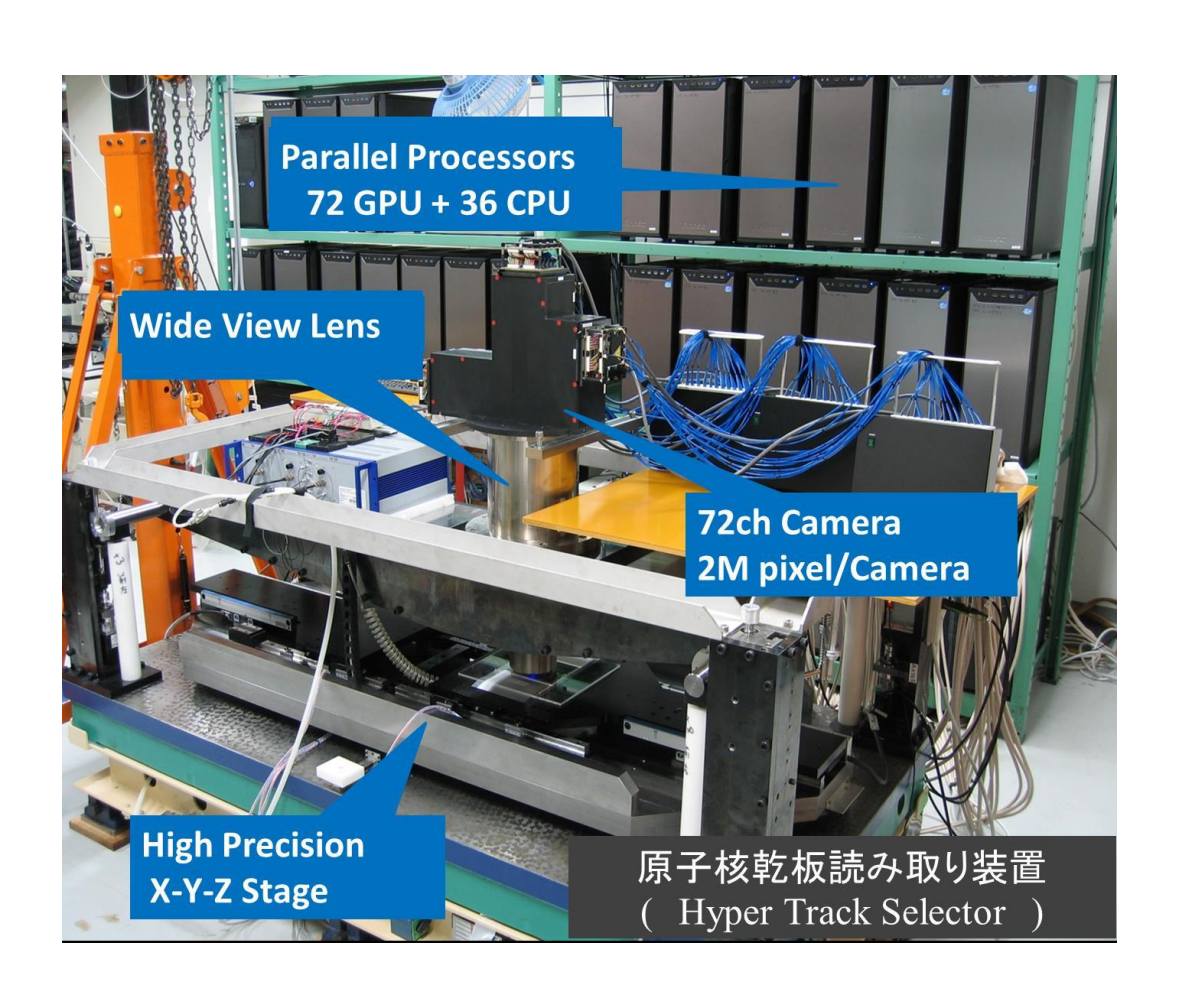
フィルムを無事に回収

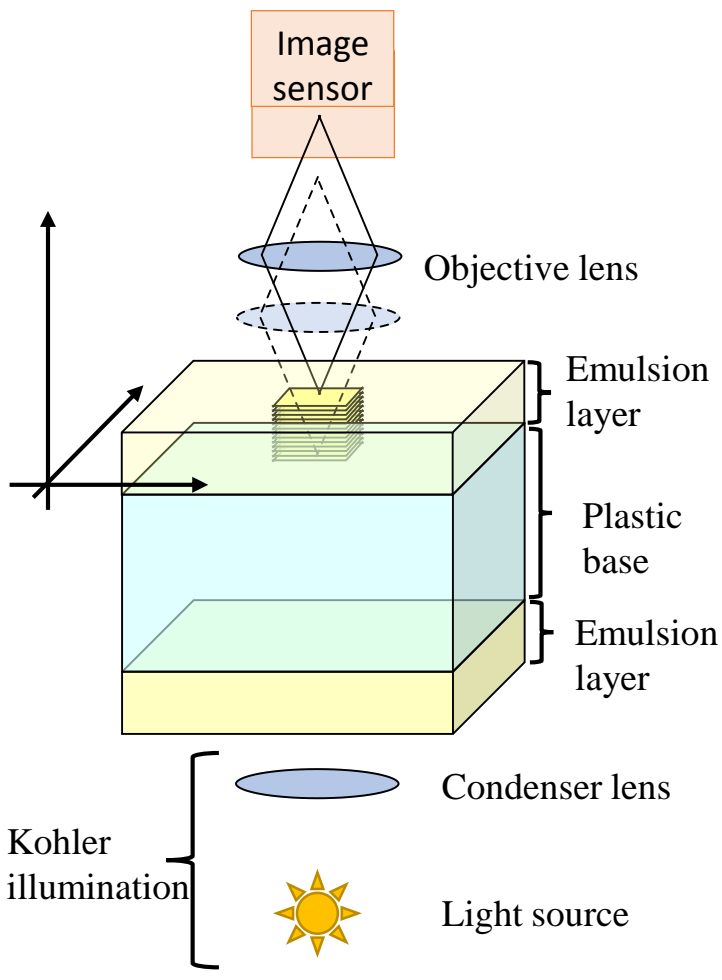


シドニー大学で現像処理



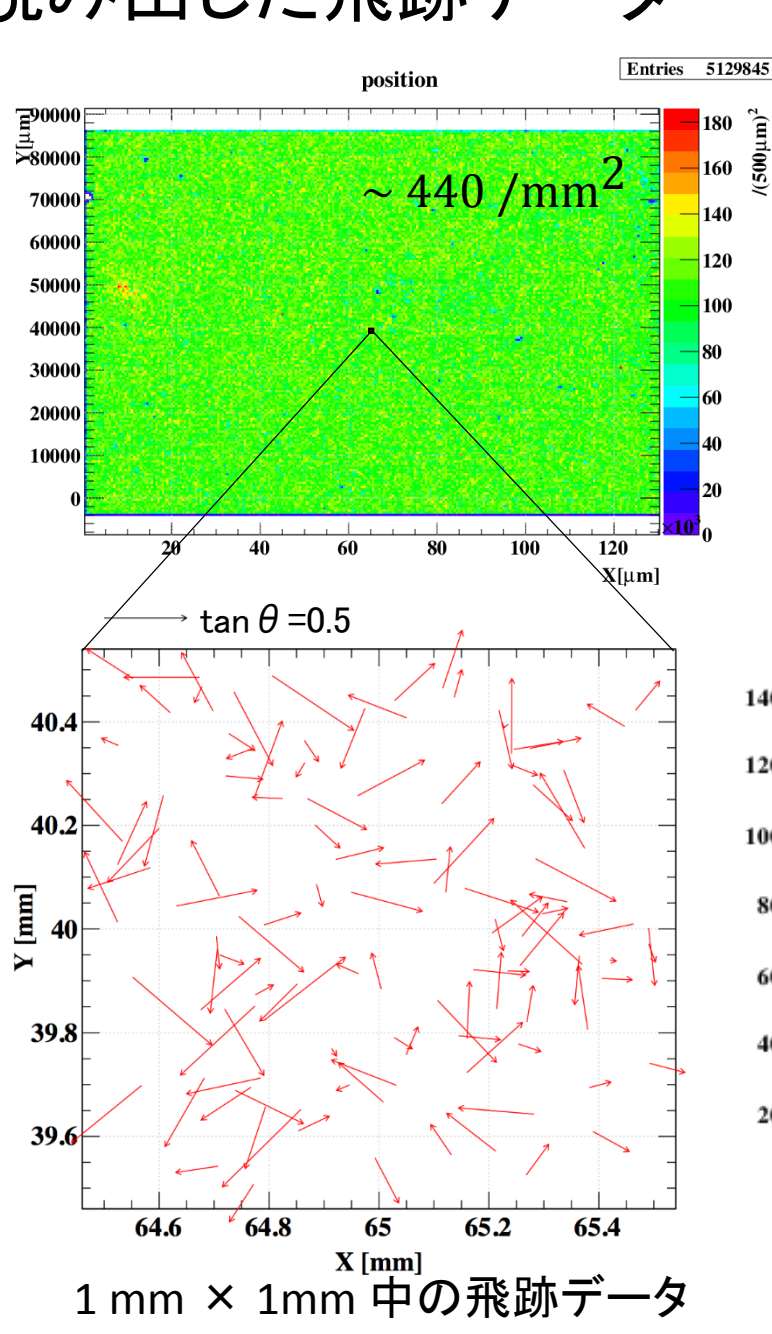
高速自動飛跡読取装置@名古屋大学





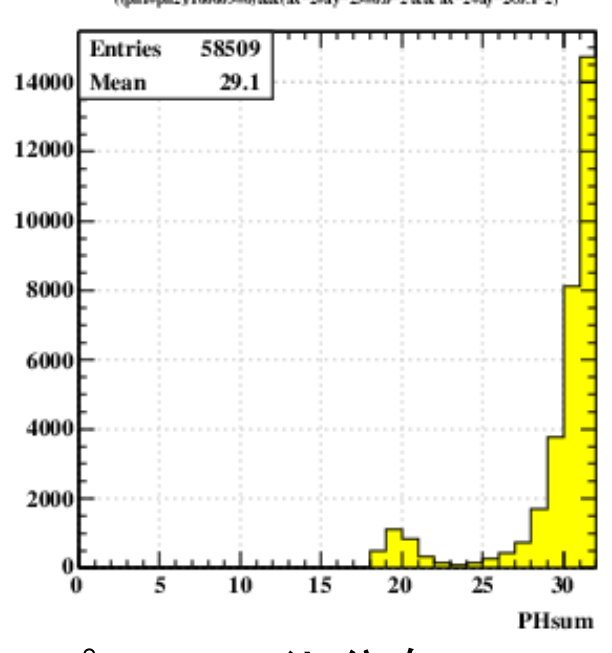
コンバータフィルム400枚の読み取りを完了.

読み出した飛跡データ



取得データの健全性を確認.

- 飛跡検出効率 ~97%
- シグナル/ノイズ比
- 飛跡再構成性能

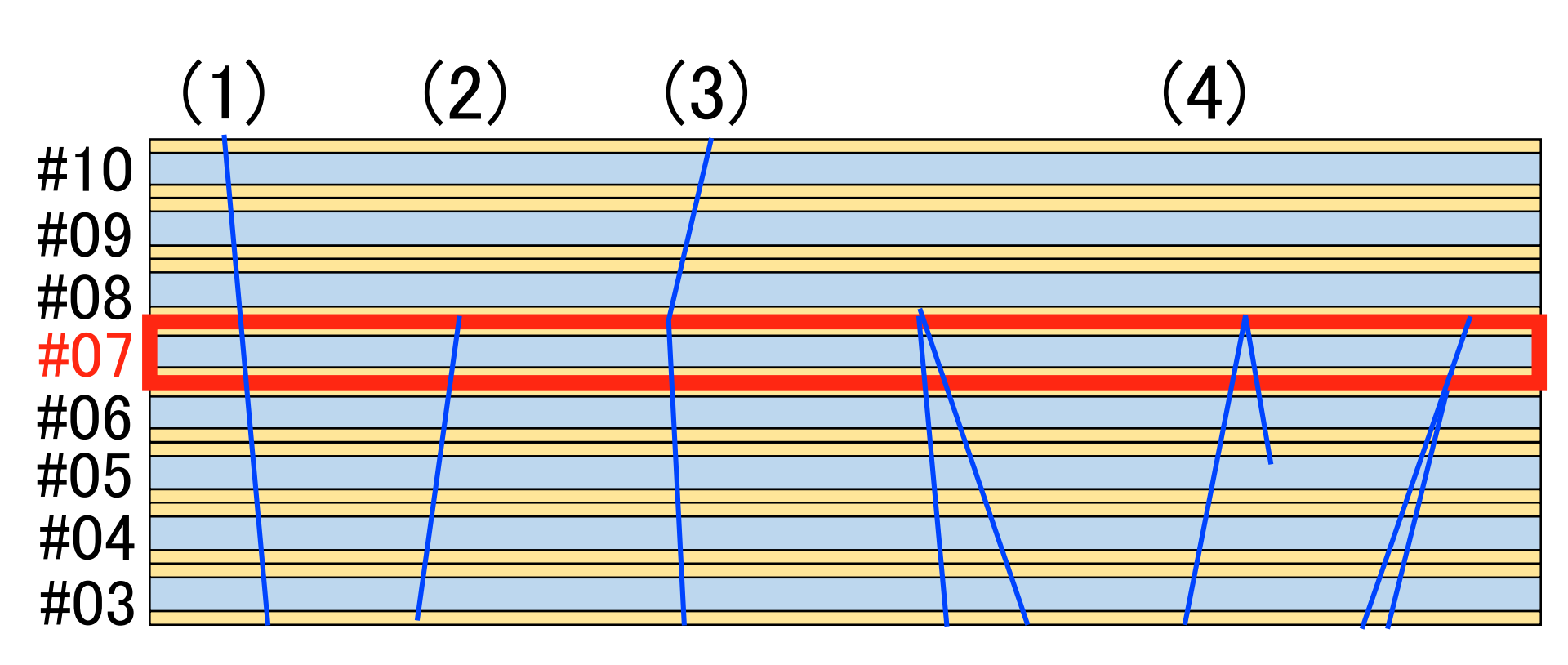


/(200µm)

パルスハイト分布 $(\tan\theta < 0.1)$

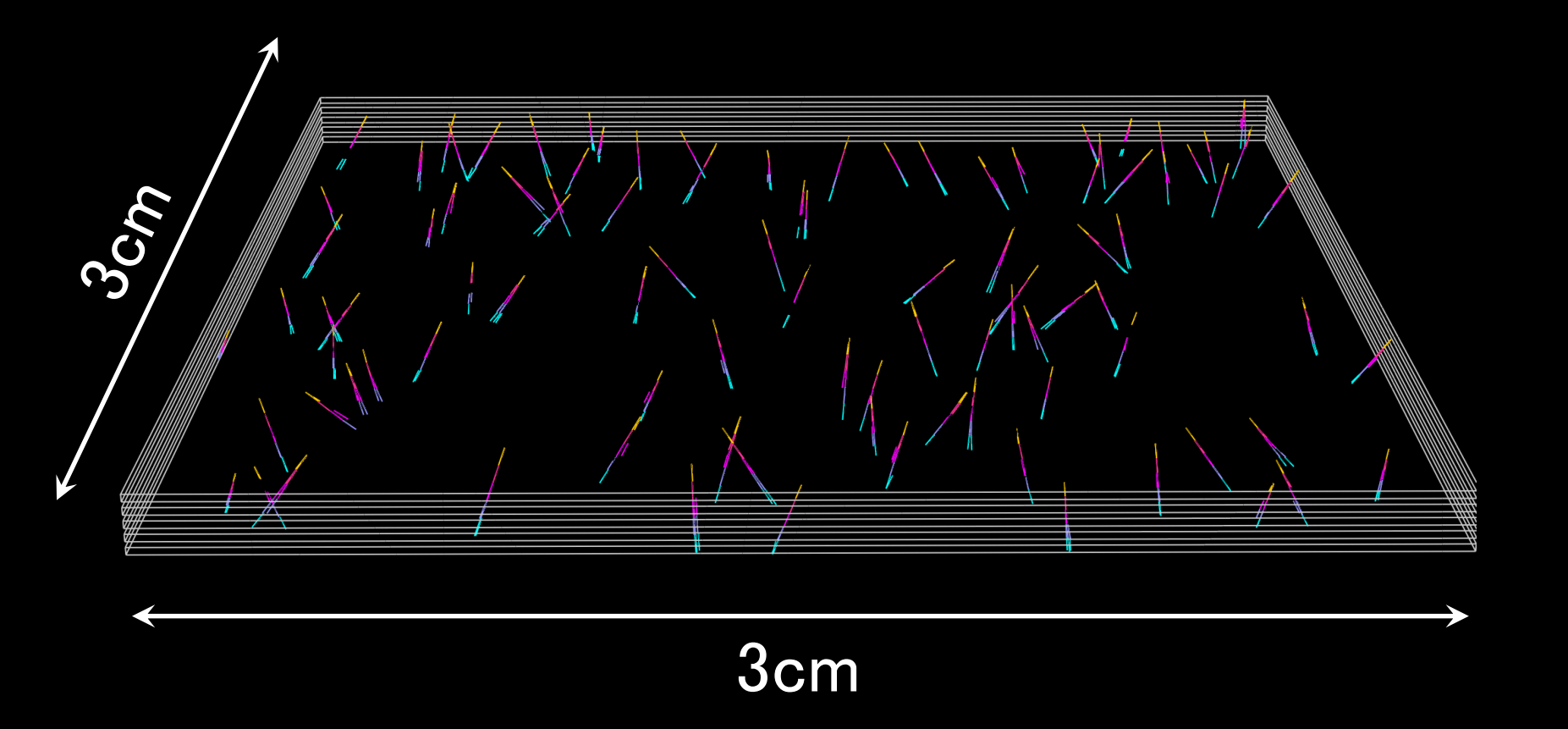
e-pair 事象探索

- (1)貫通飛跡の消去
- (2)対象プレートから始まり下流へつながる飛跡 (>50MeV/c)
- (3)大角度散乱反応のカット
- (4)パートナー飛跡の要求

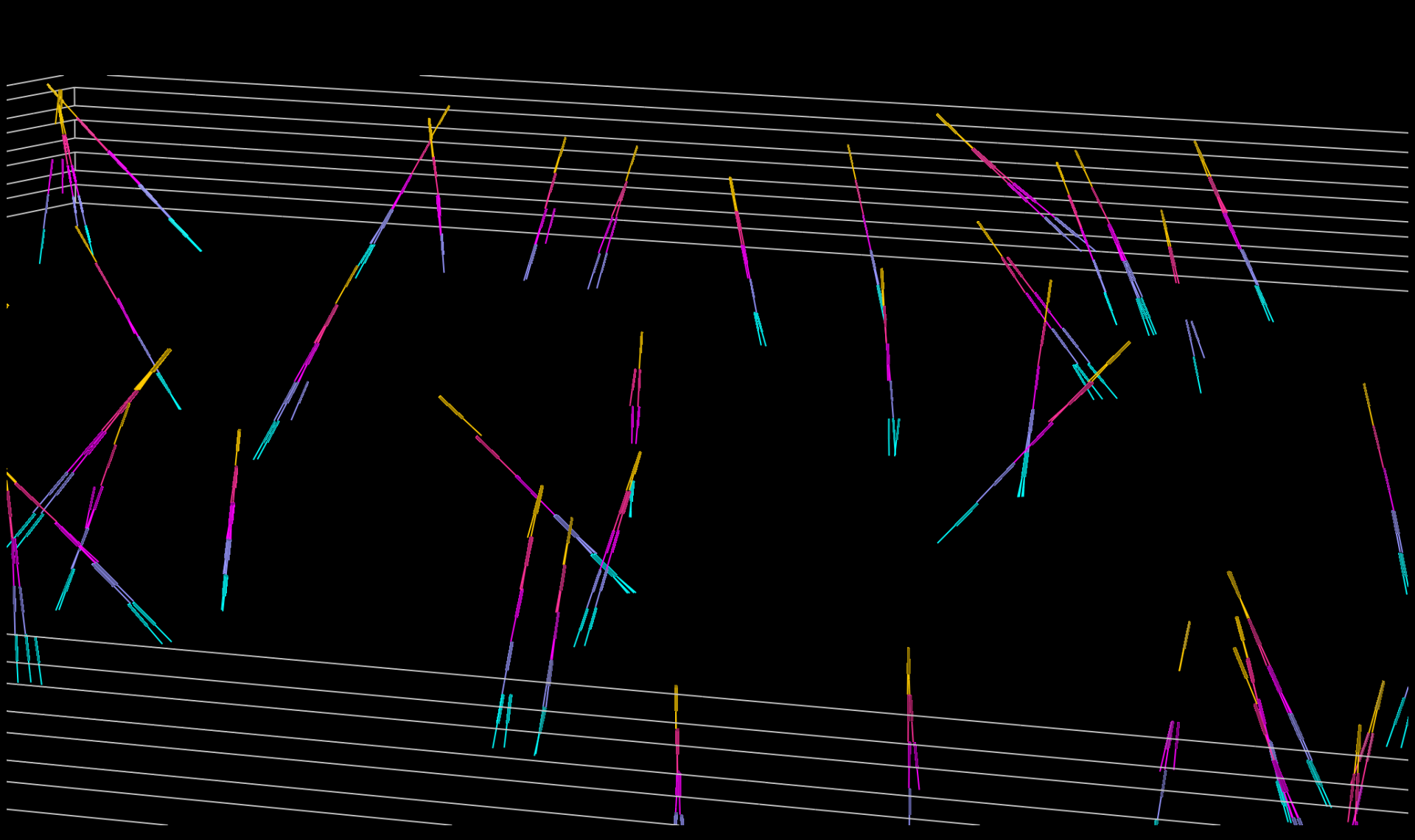


ガンマ線イベントの可視化

109 events

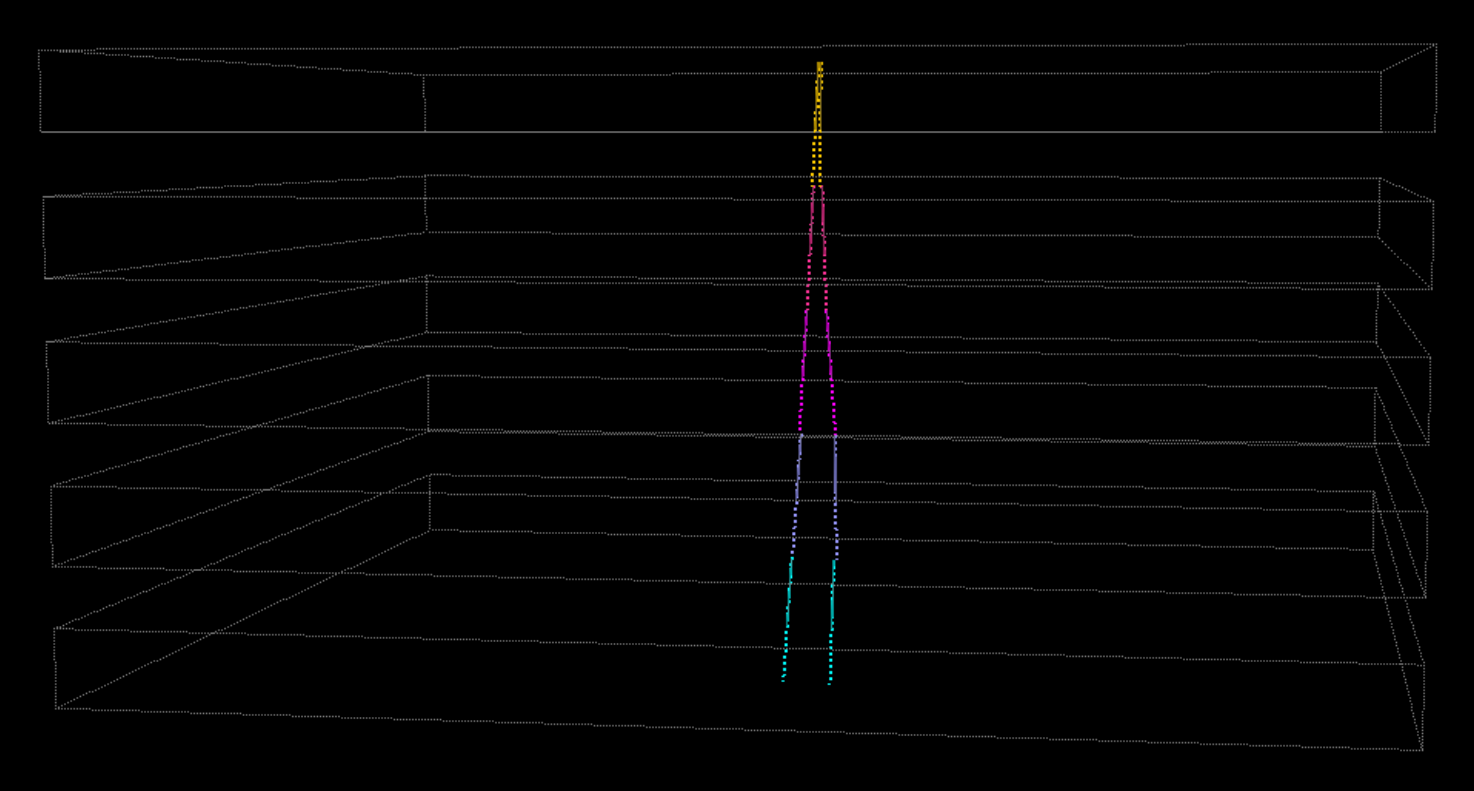


ガンマ線イベントの可視化



e-pairイベント例①



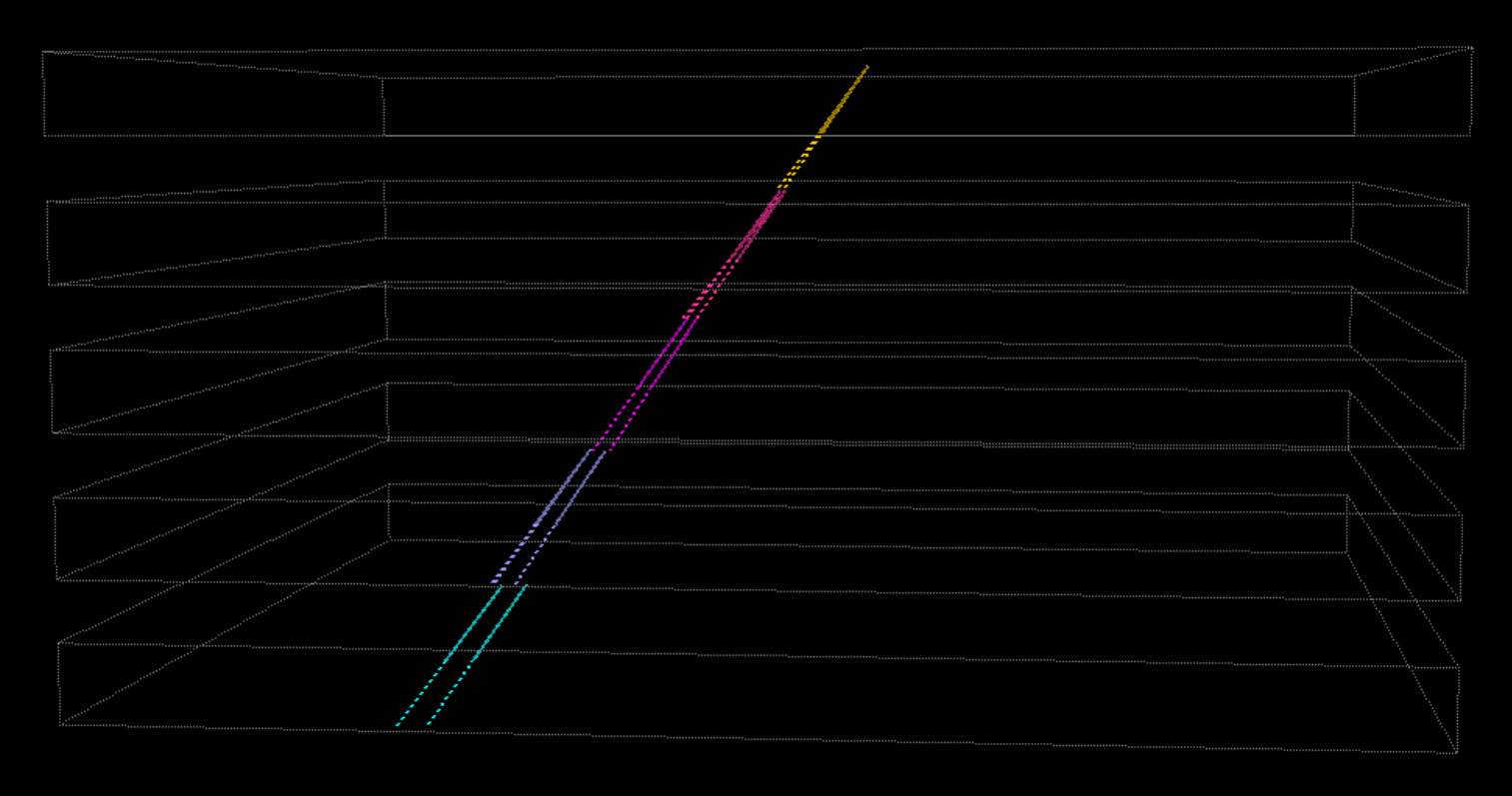


天頂角 $\tan \theta = 0.13(7.21^{\circ})$

770639

e-pairイベント例②





天頂角 $\tan \theta = 0.82(39.4^{\circ})$

773927

まとめと展望

- □ GRAINE2015年オーストラリア気球実験.
 - エマルション望遠鏡による Velaパルサーの検出.
 - イメージング性能の実証

口径面積0.375平米、飛翔時間14.4時間のフライトに成功.

- □ 高感度乾板を初導入.
 - S/Nが劇的に改善し、飛跡検出効率を大幅に向上 (旧 80% →新 95%以上).
- □ 飛跡の角度分解能を評価し、期待される性能が得られていることを確認した.
- □ ガンマ線事象の探索を行い、信頼性~90%の選出ができていることを確認.
- □ ガンマ線選出までの処理をほぼ自動化し、系統的に全面処理が進行中.
 - 全面積探索では 4×10^6 ガンマ線事象が見込まれる.
- ◆ ガンマ線検出効率の評価. ◆ エネルギー測定の自動化.
- ◆ ガンマ線事象のタイムスタンプ、天球上へのポインティング.
- ◆ ハドロン事象起因のガンマ線の除去.

おまけ







GRAINE計画 ロードマップ

1st Flight —

2011年6月8日 北海道大樹町宇宙実験場

口径面積 0.0012 m² 観測時間 1.6 hour

☆各要素の動作試験、連動試験 ☆大気ガンマ線の観測



2nd Flight

2015年5月12日 オーストラリア・アリススプリングス

口径面積 0.375 m² 観測時間 14.4 hour

☆エマルション望遠鏡による天体初検出 ☆ポインティング性能の実証

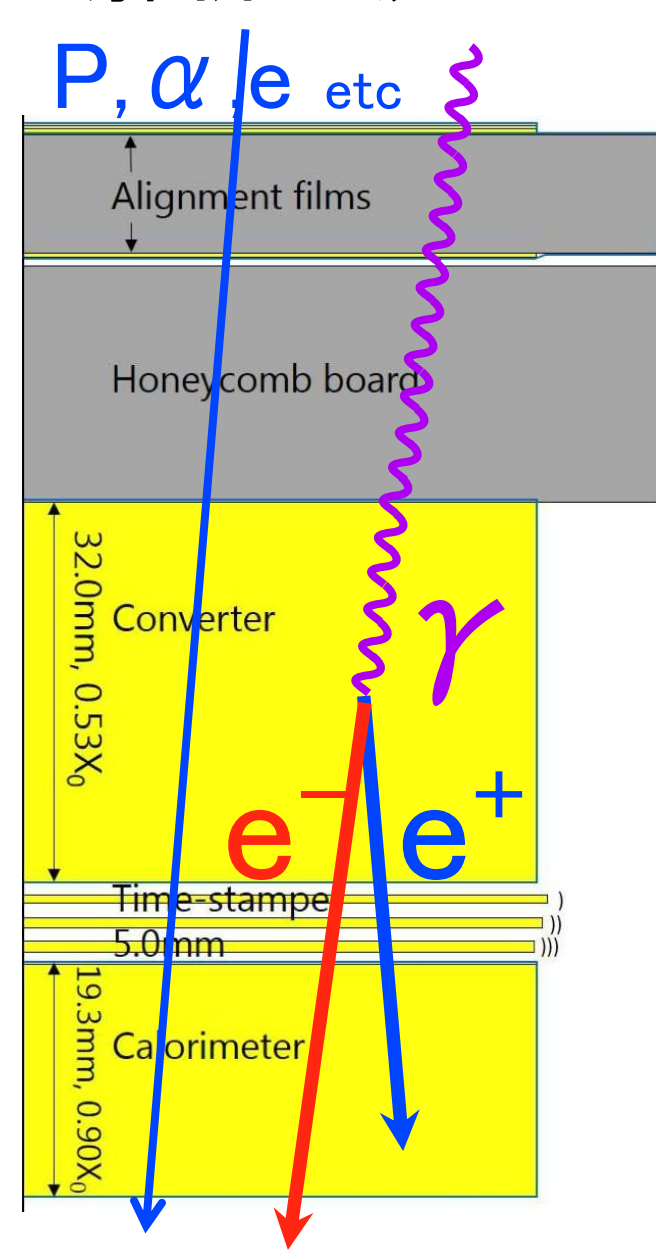
3rd Flight and more

2016年~ 長時間フライトを検討中

口径面積 ~10 m² 観測時間 ~100 hour

☆科学観測 超新星残骸の空間構造 銀河中心領域の高精度観測

解析の流れ



フィルムの自動読取

コンバータ解析

- データクオリティの理解
- ・フィルム間の飛跡接続
- •γ → e⁺+ e⁻ 事象の選出

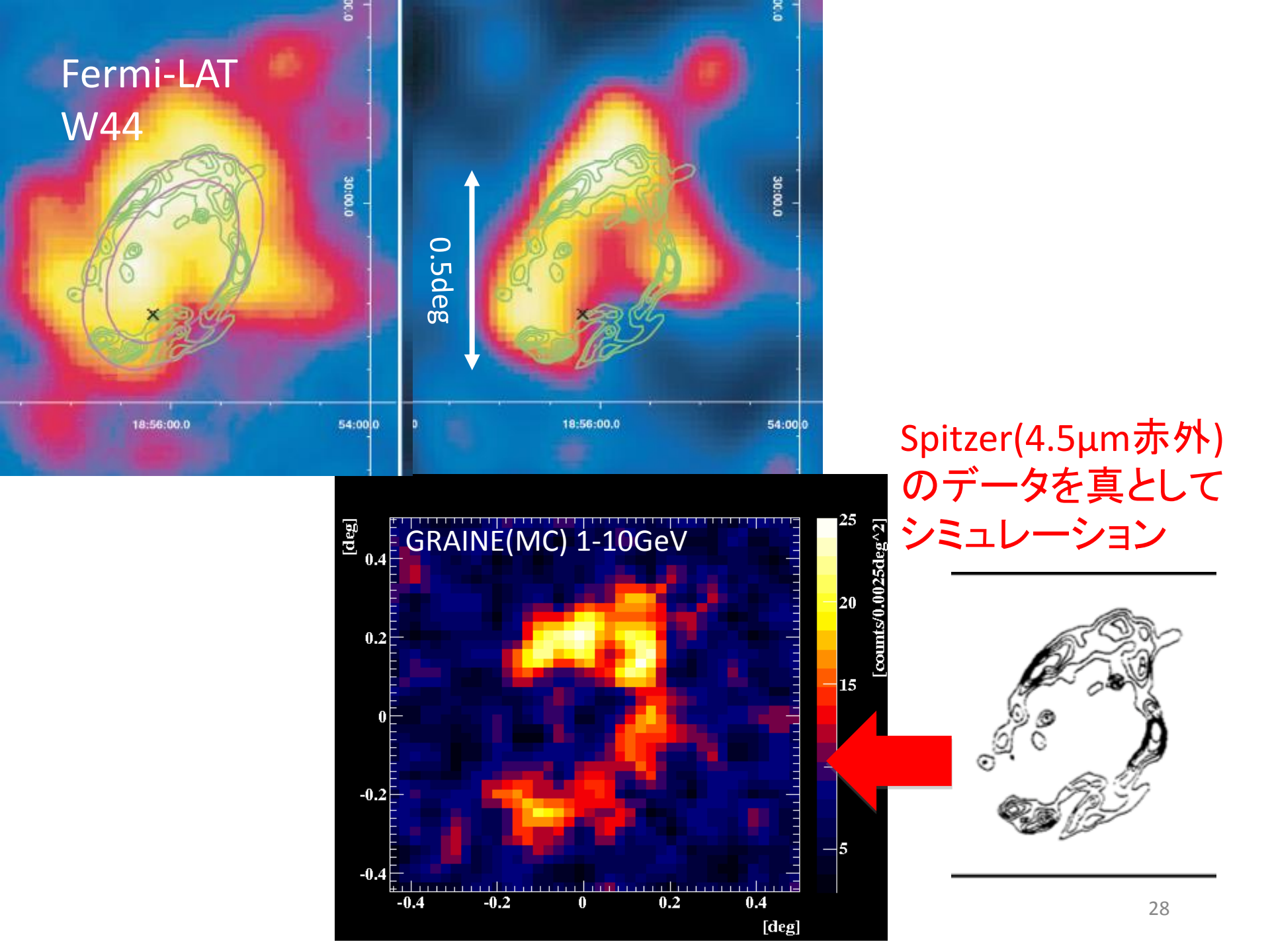
エネルギー測定 入射角度測定

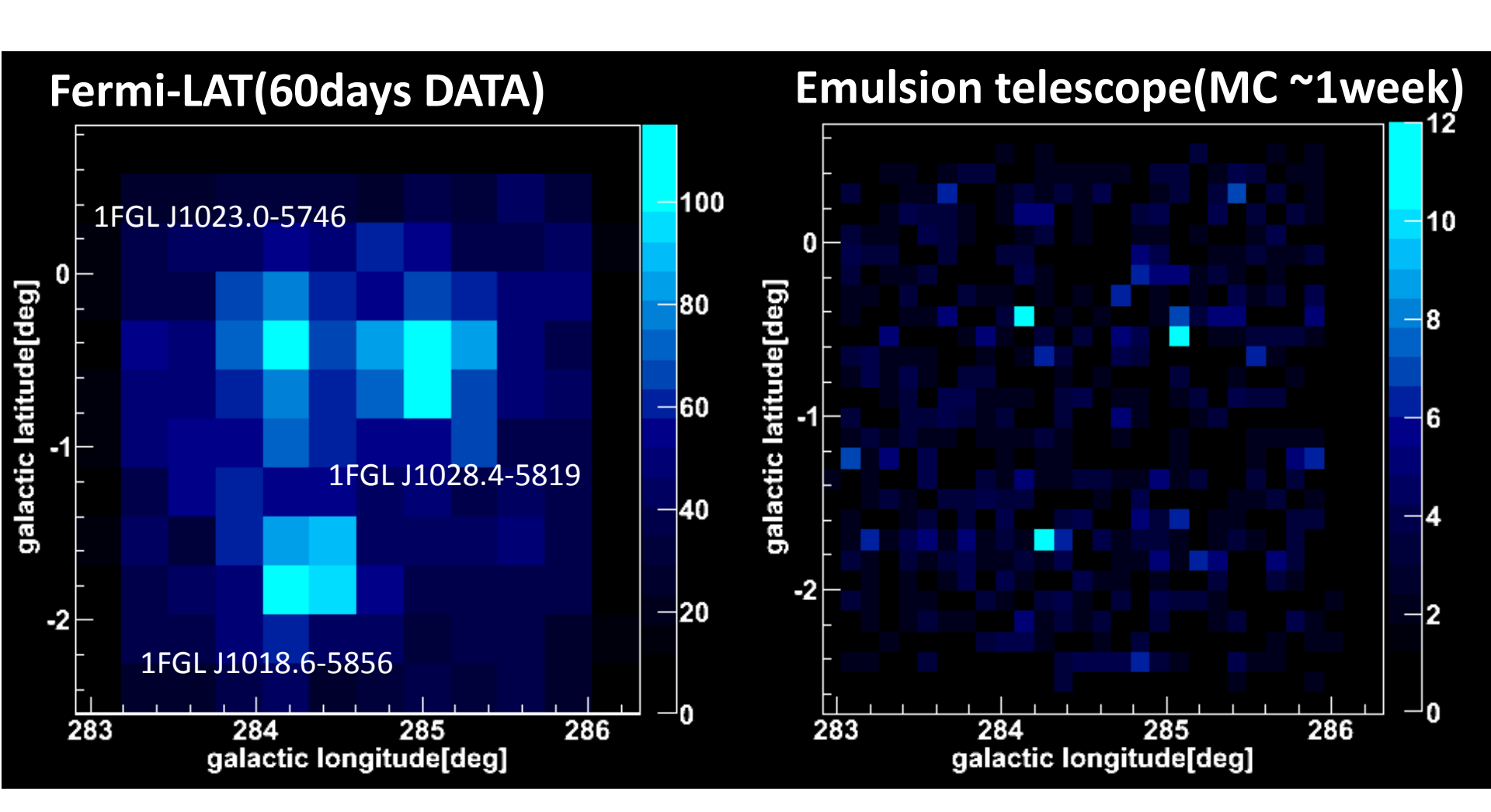
タイムスタンプ解析

スターカメラ解析

天球マッピング

- •Off Source 評価
- ·Vela 領域評価

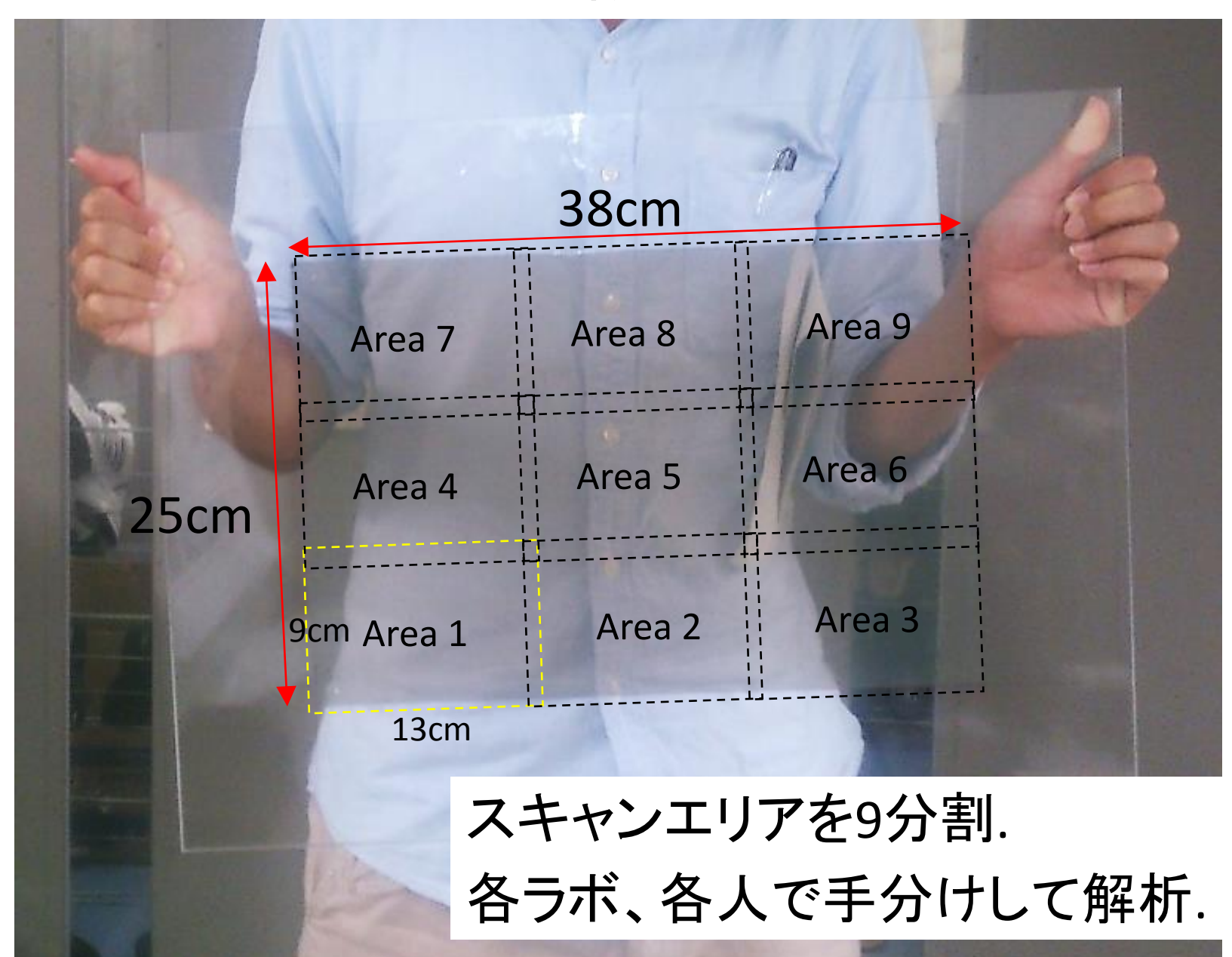




HTSによるフィルムの読取



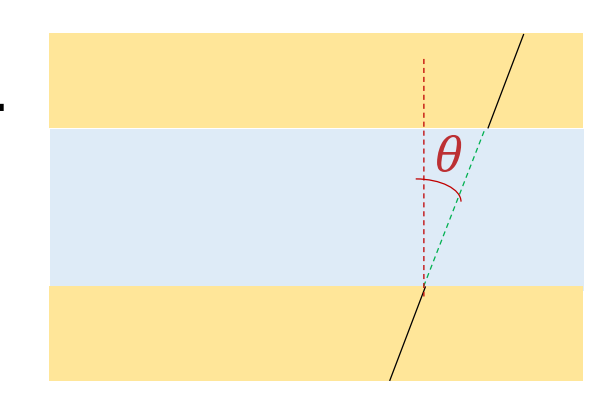
HTSによるフィルムの読取

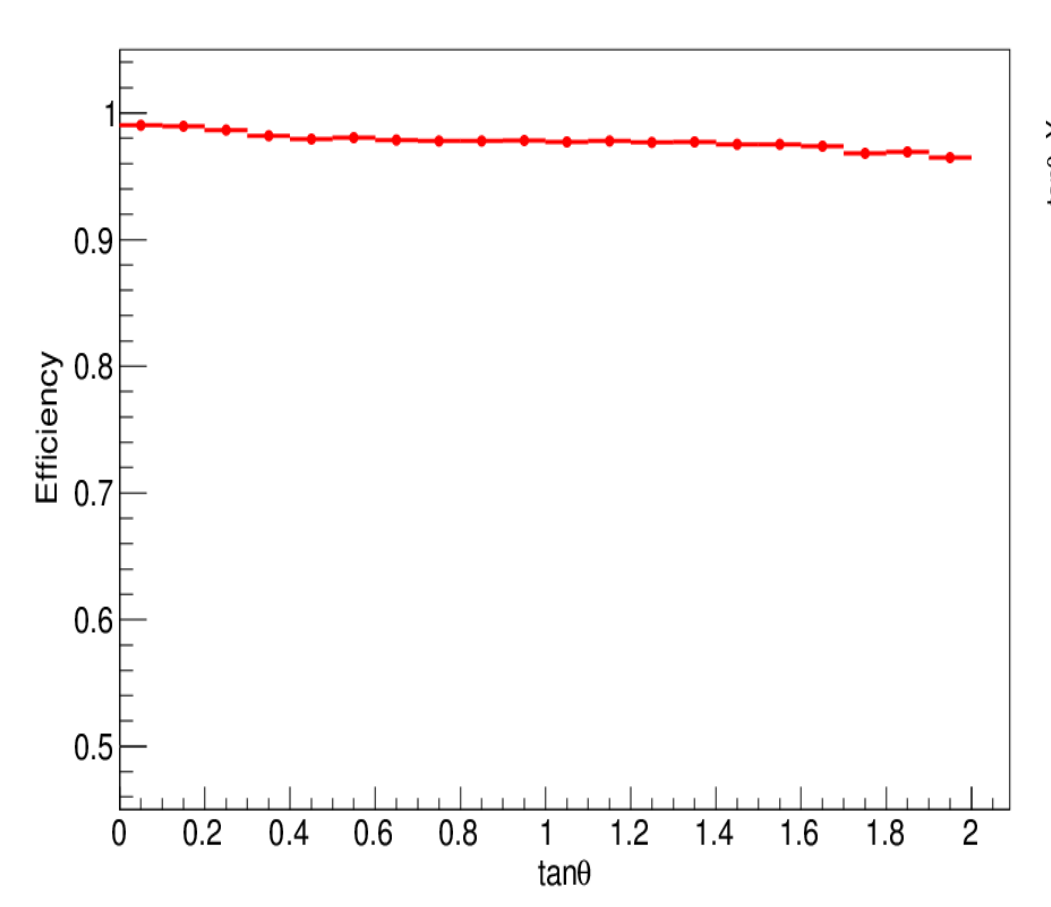


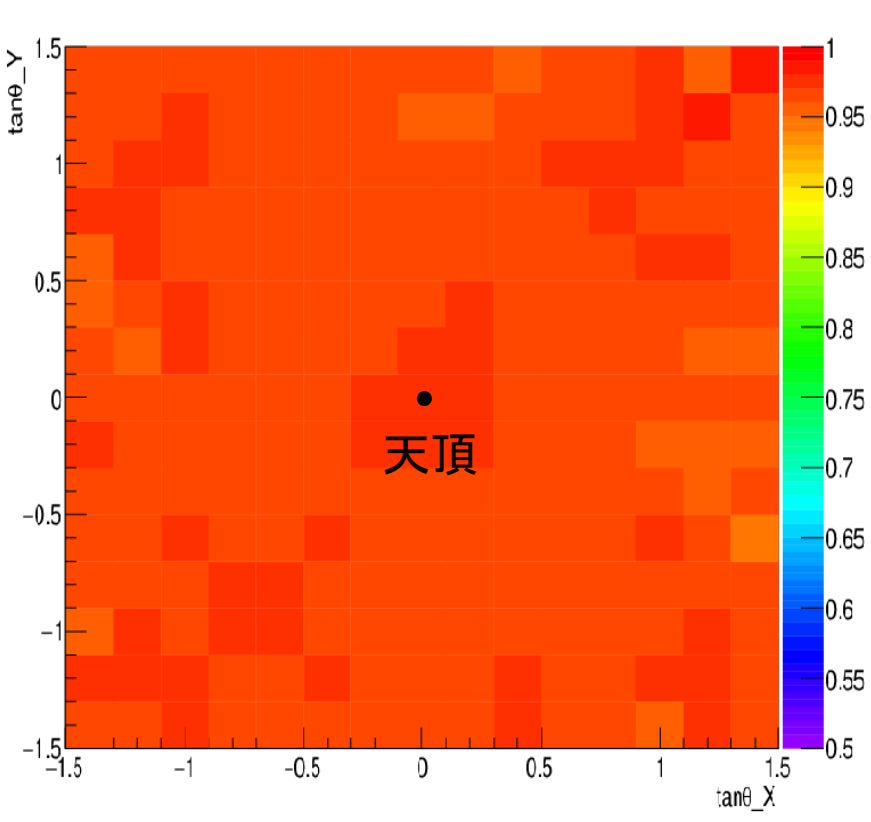
検出効率の入射角度依存性

Unit3-PL02 Area5

GRAINE2015



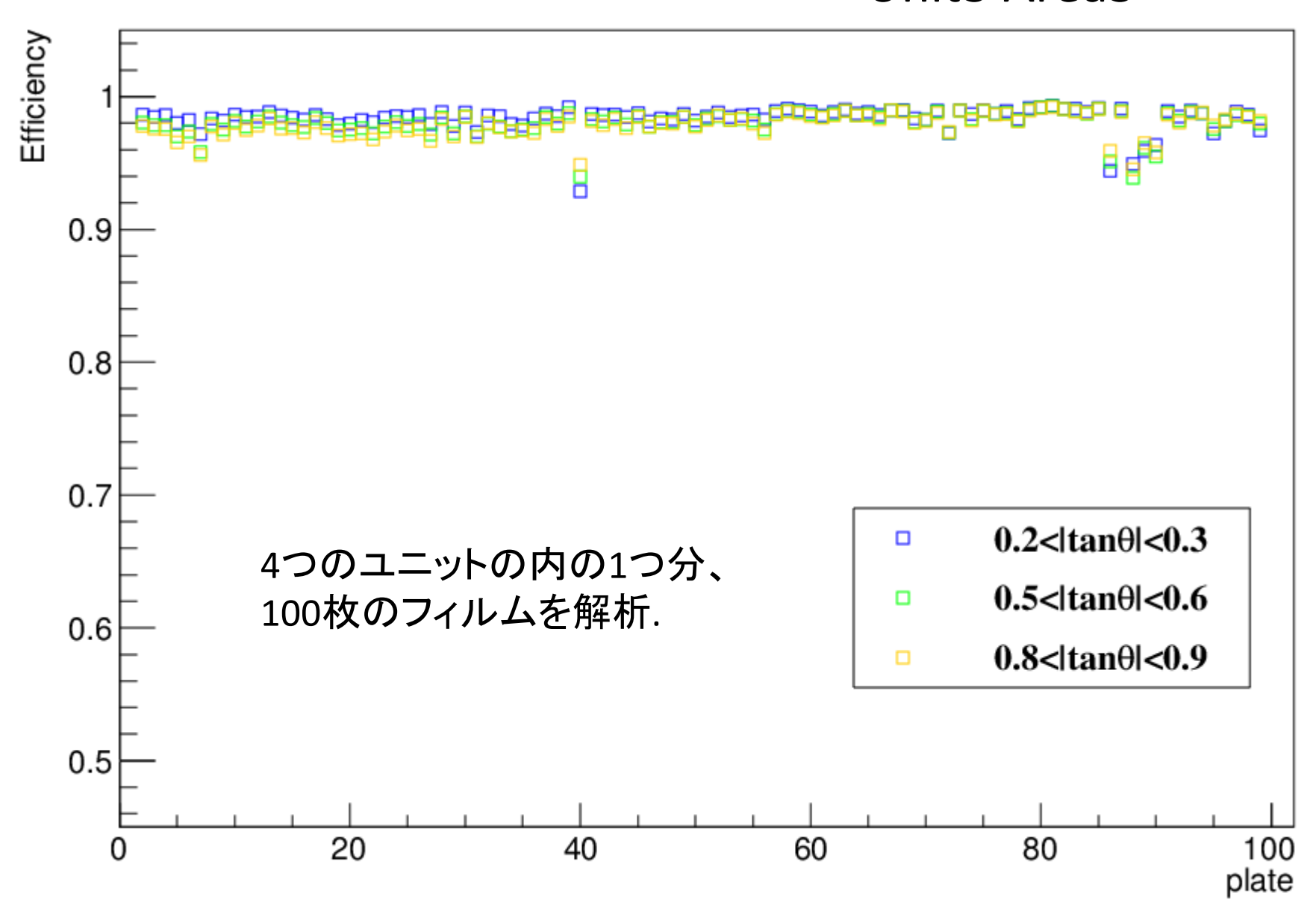




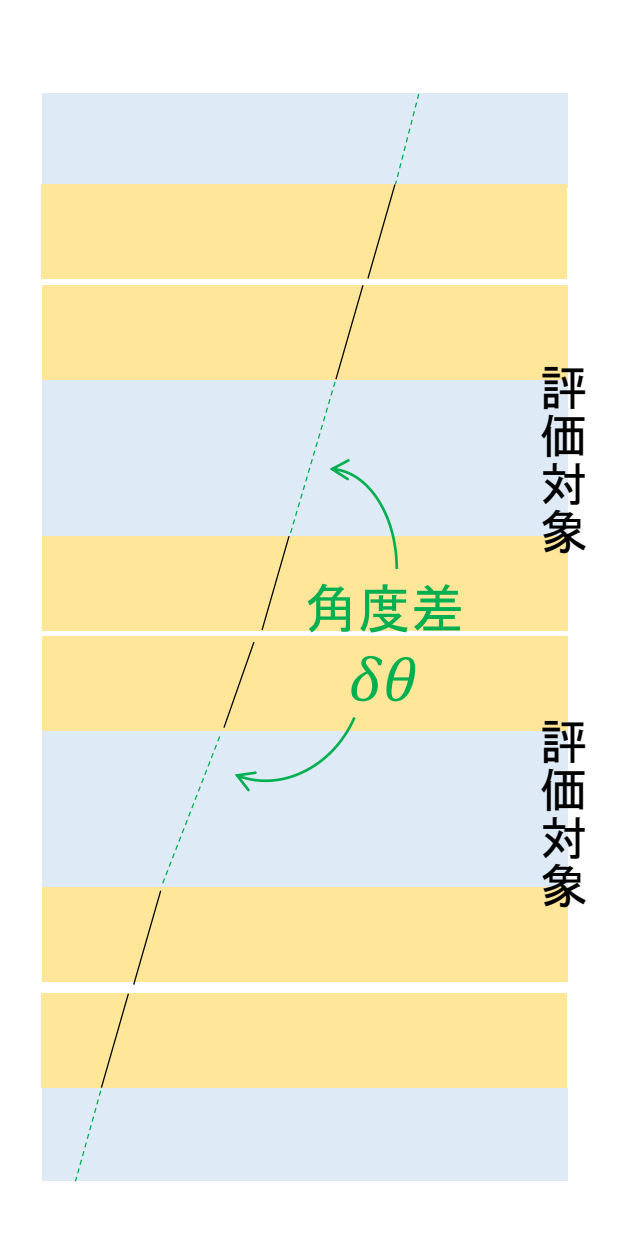
フィルム毎の検出効率

GRAINE2015

Unit3 Area5



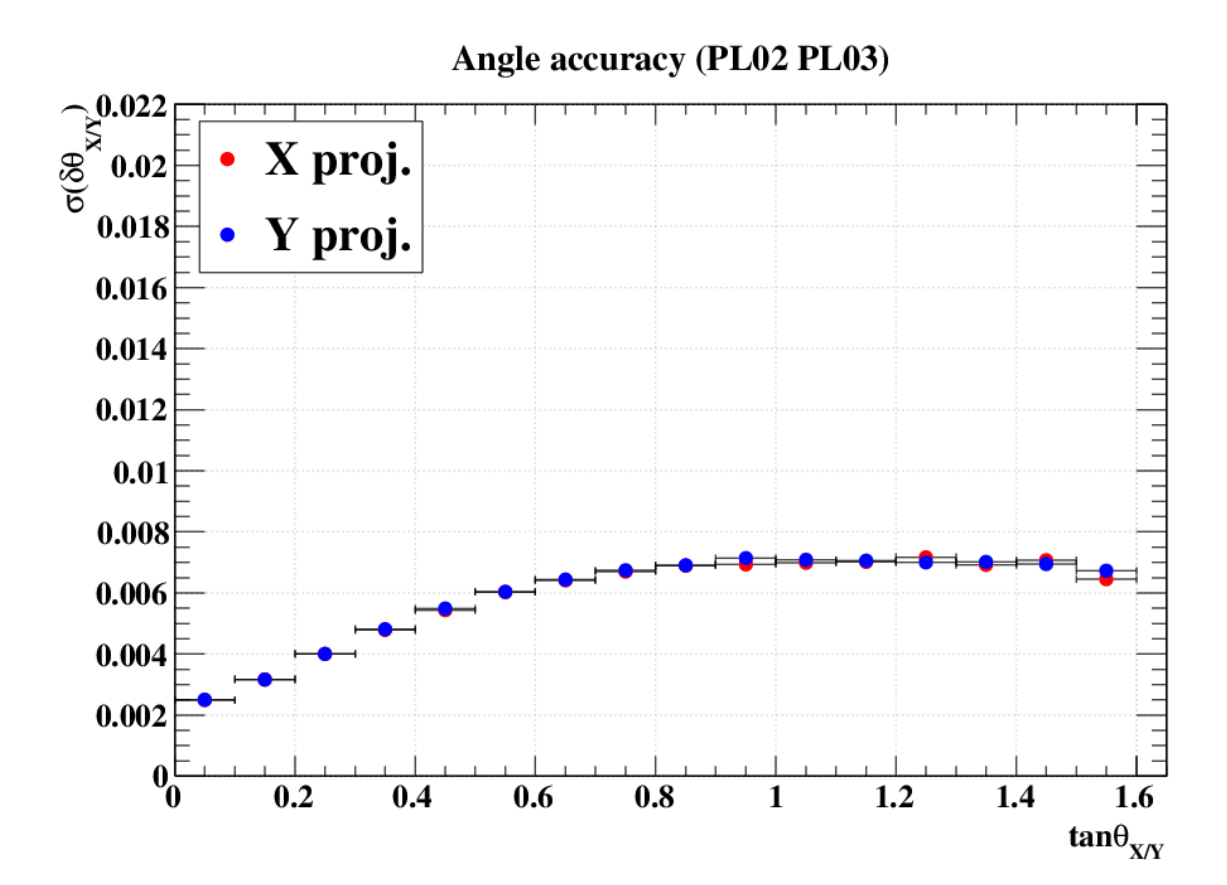
飛跡角度精度の評価



①高運動量トラックを選出

上下のフィルムで角度ズレの小さい飛跡.

②2枚のフィルムでの角度ズレを評価



フィルム毎の角度精度

GRAINE2015

